

Figura 2.23 Célula triaxial modificada para ensayos en suelos parcialmente saturados (Bishop y Donald, 1961).

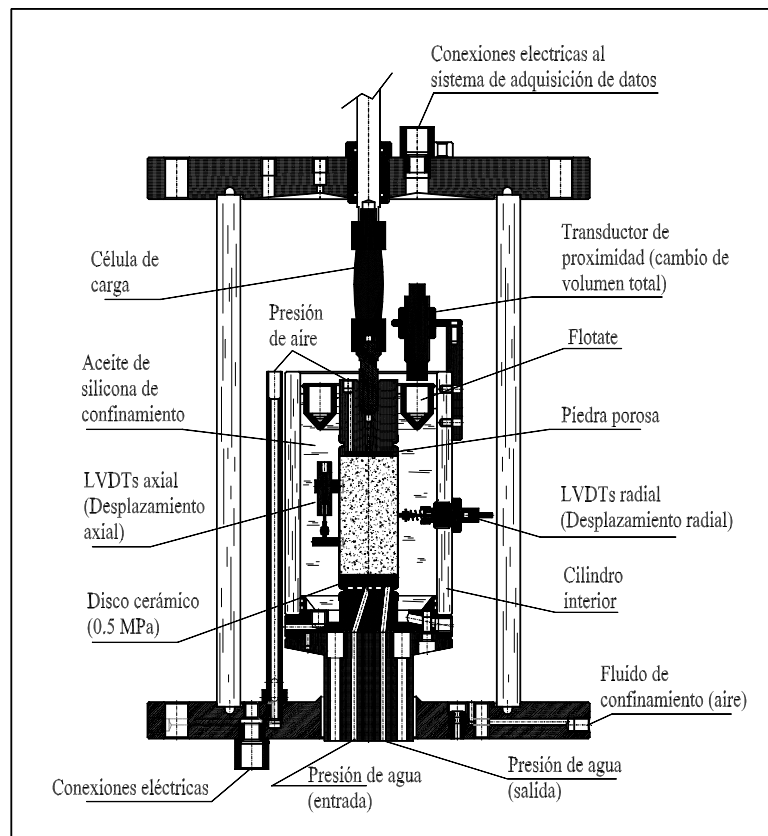


Figura 2.24 Célula triaxial para suelos no saturados (Carvalho, 2001).

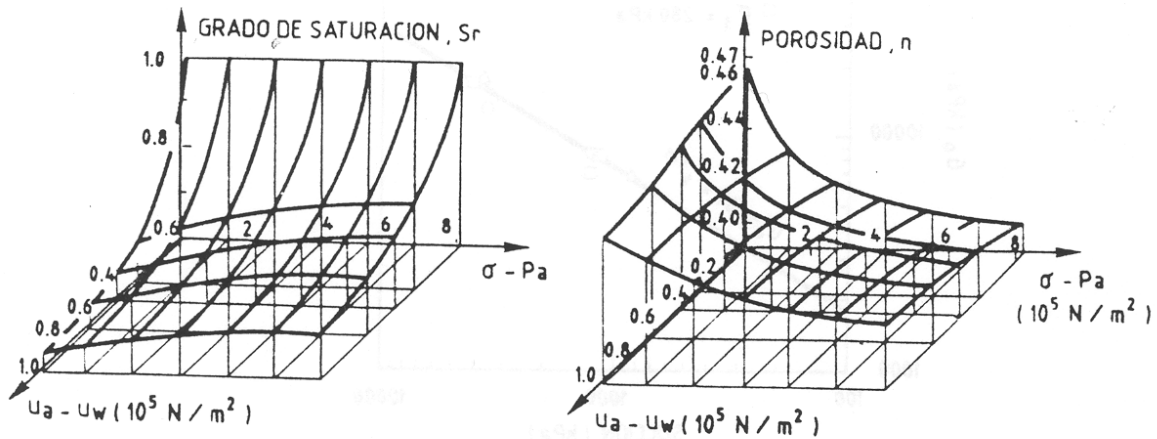


Figura 2.25 Superficies de estado para el índice de vacíos y grado de saturación (Matyas y Radakrishna, 1968).

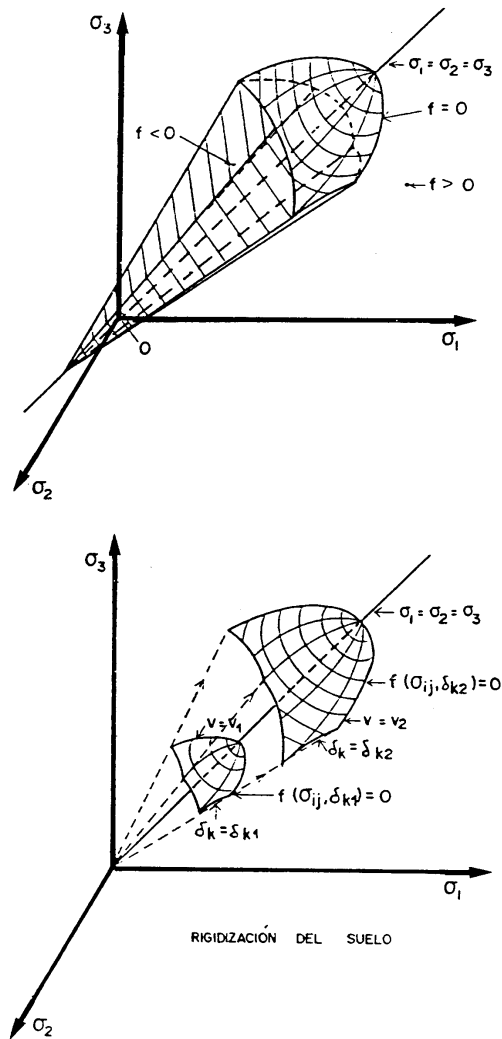


Figura 2.26 Representación de un criterio de falla genérico en el espacio de tensiones principales (citado por Josa, 1988). a) reblandecimiento del suelo, b) rigidización y reblandecimiento del suelo y caso de plasticidad perfecta.